

# JEGYZŐKÖNYV KORSZERŰ VIZSGÁLATI MÓDSZEREK LABORATÓRIUM

---

MAG-MÁGNESES REZONANCIA VIZSGÁLATA

---



**ELTE**  
EÖTVÖS LORÁND  
TUDOMÁNYEGYETEM

- Mérést végezte : Brindza Mátyás
- Mérőtársak : Kovács Benjamin, Németh Olivér
- Mérés időpontja : 2023.04.21.

# Tartalomjegyzék

<b>1. A mérés célja</b>	<b>4</b>
<b>2. A mérés elméleti háttere</b>	<b>4</b>
2.1. A g-faktor . . . . .	4
2.2. Az energiaszintek felhasadása . . . . .	5
2.3. A mágneses momentum mozgása forgó koordinátarendszerben . . . . .	5
2.4. Abszorpció és Kiszélesedés . . . . .	6
<b>3. A kísérleti elrendezés</b>	<b>7</b>
<b>4. Mérési feladatok</b>	<b>7</b>
4.1. A proton g-faktora . . . . .	7
4.2. A fluor és a proton rezonanciájának összehasonlítása . . . . .	8
4.3. Hibaforrások . . . . .	8

## Mérési adatok, megjegyzések

Oscillátor : 5.671kHz

Egyenáram : 1.6A

Stabilitás mérés :

9:10 - 13.7ms

9:15 - 11.2ms

-> 5 perc alatt 2ms elcsúszás

Elcsúszás után visszaállítjuk a frekvenciát, ami most 5.688kHz, tehát 16kHz az elcsúszás a frekvenciában.

Ezek adják meg az egész mérés pontosságát, ebből tudjuk megmondani, hogy mennyire tudjuk pontosan mérni a dolgokat.

Mivel a szinusz lineáris a nulla körül, ezért ezt lineárisnak vesszük (hogyan mit, nem tudom, majd kiderül).

Első mérési pont :

Hall szonda : 129.4mT

Oscillátor : 5.687 (az utolsó számjegy ingadozik 7 és 8 között)

Áramerősség	Áramerősség tekercs	Hall szonda	Oscillátor
1.366A	445	117.0mT	5.5150kHz
1.186A	384	103.1mT	4.457kHz
0.994A	321	92.2mT	4.055kHz

## 1. A mérés célja

A mérés során a hidrogén és a fluor atommagok mágneses rezonanciájáról szerzünk tapasztalatokat. Meggyőződünk róla, hogy egy sztatikus  $B_0$  tér hatására felhasadnak az elfajult energiaszintek, és egy időben változó  $B_1(t) = B_1 \cdot \cos(\omega t)$  tér hatására fellép a rezonancia jelensége.

## 2. A mérés elméleti háttere

### 2.1. A g-faktor

Nagyságrendi becslést, illetve intuíciót szerezhethetünk a giromágneses arányról, ha megvizsgáljuk egy pontszerű töltött részecske mozgását homogén mágneses térben. Bárhogy felvehetjük a koordinátarendszert a jelenség leírására, de ez esetben a legegyszerűbb, ha a külső sztatikus tér a  $z$  tengely irányába mutat.

Tudjuk, hogy a mágneses momentum és az impulzusmomentum arányosak egymással :

$$\hat{\mu} = \gamma \hat{J} \quad (1)$$

ahol  $\gamma$ -t giromágneses aránynak szokás nevezni, amely egy részecskére jellemző mennyiség. Az  $m$  tömegű és  $q$  töltésű részecske  $v$  sebességgel körpályán kering egy  $B$  mágneses térben, ekkor egy  $A$  felületet sűrölva. Egy köráram mágneses momentuma definíció szerint az áram nagysága és a közbezárt felület szorzata, az impulzusmomentum pedig ismert klasszikus forgómozgás esetén :

$$\mu = I \cdot A = qv \frac{1}{2\pi r} r^2 \pi = \frac{qvr}{2} \quad (2)$$

$$J = mvr \quad (3)$$

$$\Rightarrow \mu = \frac{q}{2m} J \Rightarrow \gamma = \frac{q}{2m} \quad (4)$$

Várhatóan a részecske tömege és töltése határozza meg, hogy adott  $J$  impulzusmomentum mellett mekkora lesz a részecske mágneses momentuma. Ez kvalitatív bár fennáll kvantumrészecskékre is, az arányossági tényező más lesz. A kvantum-részecskéknél kvantált az impulzusmomentumuk, és saját impulzusmomentumuk is van. Az impulzusmomentumot  $\hbar$  egységekben adjuk meg a  $j$  kvantumszám segítségével.

$$J = \hbar \cdot j \quad (5)$$

Az impulzusmomentum és a mágneses momentum közti arányosság kvantumos korrekciójára vezetjük be a  $g$  mennyiséget, melyet  $g$ -faktornak szokás nevezni.

$$\gamma = g \cdot \frac{q}{2m} \quad (6)$$

Elektronok és nukleonok esetén érdemes egyesíteni a konstansokat, ezt a célt szolgálja a Bohr-magneton ( $\mu_B$ ) és a magmagneton ( $\mu_N$ ).

$$\mu_e = g_e \cdot \frac{e}{2m_e} J_e = g_e \mu_B j \quad (7)$$

$$\mu = g \cdot \frac{e}{2m_p} J = g \mu_N j \quad (8)$$

A magnetonok anyagi jellemzőiből állnak, a  $g$ -faktor pedig kimérhető  $\mu$  és  $j$  ismeretében. A  $g$ -faktor értéke elektronra, protonra és neutronra :

$$g_e \approx 2.002322 \quad (9)$$

$$g_p \approx 5.585486 \quad (10)$$

$$g_n \approx -3.826085 \quad (11)$$

A klasszikus esetet  $g = 1$  esetén kapjuk vissza. Kvantumos esetben ettől eltérő, de nagyságrendileg megegyező  $g$ -faktorokat mérünk.

## 2.2. Az energiaszintek felhasadása

Egy részecske impulzusmomentuma  $J = \hbar j$  módon kvantált, egy adott tengelyre vett vetületének  $2j + 1$  lehetséges értéke van. A fennálló forgásszimmetria miatt nem alaptalan feltételezés, hogy a magára hagyott rendszerben degeneráltak lehetnek az energiaszintek. Egy külső  $B_0$  mágneses tér hatására megszűnik a degeneráció, a mágneses térrel való kölcsönhatás miatt felhasadnak az energiaszintek.

$$\hat{K} = -\hat{\mu}\hat{B}_0 = -\gamma B_0 \hat{J}_z \quad (12)$$

A mágneses kvantumszám különbözteti meg a  $\hat{J}_z$  operátor sajátállapotait, a  $\hat{K}$  operátor sajátértékei pedig maguk az energiák.

$$\hat{J}_z |m\rangle = m\hbar |m\rangle \quad (13)$$

$$\hat{K} |m\rangle = E_m |m\rangle \quad (14)$$

Tehát az energiaszintek :

$$E_m = -\gamma B_0 \cdot (m \cdot \hbar) \quad (15)$$

Az energia arányos  $\gamma$ -val és a külső térrel, ezért a szomszédos energiaszintek közti különbség is.

$$\Delta E = |\gamma| \hbar B_0 \quad (16)$$

A felhasadt energiaszintek között átmenetek hozhatók létre egy időben változó mágneses tér szuperponálásával. Perturbáljuk harmonikusan a Hamilton-operátort.

$$\hat{H}'(t) = -\hat{\mu}B_1(t) = -\hat{\mu}B_1 \cos(\omega t) \quad (17)$$

Bevett módon kiszámolható az időegységenkénti átmeneti valószínűség a perturbációszámítás első rendjében.

$$W_{m \rightarrow m'} = \frac{2\pi}{\hbar} \left| \left\langle m \right| -\hat{\mu}B_1 \right| \left| \right\rangle \delta(E_{m'} - E_m - \hbar\omega) \quad (18)$$

A felfelé és lefelé léptető operátorok  $\hat{J}_\pm = \hat{J}_x \pm \hat{J}_y$ . A  $\hat{J}_x$  és  $\hat{J}_y$  operátorok kifejezhetők a léptető operátorokkal, ezért egy  $|m\rangle$  sajátállapotot a  $|m+1\rangle$  és  $|m-1\rangle$  állapotok kombinációjába viszik. A (13)-as kifejezésben már láttuk, hogy a  $\hat{J}_z$  operátor nem változtatja meg  $m$ -et. Így tehát a  $\underline{B}_1$  térnek csakis a  $\underline{B}_0$ -ra merőleges komponensei képesek átmeneteket előidézni. A perturbációszámítás első rendjében csak szomszédos állapotok között lehet átmenet, azaz  $m \rightarrow m \pm 1$ . A Dirac-delta miatt minden olyan átmenet valószínűség 0, ahol  $\hbar\omega$  nem fedezi pontosan az  $E_{m'} - E_m$  energiakülönbséget. Az energiakülönbség a (16)-os kifejezésből ismert.

$$\hbar\omega = \Delta E = |\gamma| \hbar B_0 \quad (19)$$

Ez a kifejezés adja meg, hogy a perturbáló tér milyen frekvenciája mellett történhet átmenet az energiaszintek között, ezért rezonancia-feltételnek is szokás nevezni.

$$\omega = |\gamma| B_0 \quad (20)$$

## 2.3. A mágneses momentum mozgása forgó koordinátarendszerben

Tudjuk, hogy bármely időpillanatban egy mágneses momentumra  $\underline{M} = \underline{\mu} \times \underline{B}$  forgatónyomaték hat, mely az impulzusmomentum idő szerinti deriváltja.

$$\frac{d\underline{J}}{dt} = \underline{\mu} \times \underline{B} \quad (21)$$

$$\frac{d(\gamma \underline{J})}{dt} = \frac{d\underline{\mu}}{dt} = \underline{\mu} \times (\gamma \underline{B}) \quad (22)$$

Egy  $\underline{A}(t)$  vektor  $\underline{\Omega}$  szögsebességgel forgó rendszerben és laboratóriumi rendszerben vett időderiváltja közti kapcsolat az alábbi módon fejezhető ki.

$$\frac{d\underline{A}(t)}{dt} = \frac{\delta \underline{A}(t)}{\delta t} \Big|_{\underline{\Omega}} + \underline{\Omega} \times \underline{A} \quad (23)$$

Így a mágneses momentum egy  $\underline{\Omega}$  szögsebességgel forgó rendszerben felírható, mint :

$$\frac{\delta \underline{\mu}}{\delta t} \Big|_{\underline{\Omega}} = \underline{\mu} \times (\gamma \underline{B} + \underline{\Omega}) = \underline{\mu} \times \underline{B}'_{eff} \quad (24)$$

ahol  $\underline{B}'_{eff} = \underline{B}' + \frac{\underline{\Omega}}{\gamma}$ . A forgó koordináta-rendszerben mért mennyiségeket vesszővel jelöljük. Sztatikus tér esetén érdemes úgy megválasztani a forgó koordináta-rendszert, hogy  $\underline{\Omega} = -\gamma \underline{B}_0$  fennálljon. Ekkor a koordináta-rendszer forgása követi a mágneses momentum precesszióját a  $\underline{B}_0$  tér körül, ugyanis  $\underline{B}'_{eff} = 0$ . Ennek a forgásnak a szögsebességét a spin Larmor-frekvenciájának szokás nevezni.

$$|\omega| = \omega_L = \gamma B_0 \quad (25)$$

Kapcsoljunk be egy  $\underline{B}_1(t) = \underline{B}_1 \cos(\omega t) \perp \underline{B}_0$  harmonikus teret, mely felbontható két, ellentétes sodrású cirkulárisan polarizált komponensre. Kiderül, hogy ezek közül csak a mágneses momentummal egy irányban forgó komponensnek lesz jelentős járuléka, ezért - az  $1/2$ -es szorzótól eltekintve - az alábbi kifejezéssel közelítjük a harmonikus teret.

$$\underline{B}_1(t) = B_1 \begin{pmatrix} \cos(\omega t) \\ \sin(\omega t) \\ 0 \end{pmatrix} \quad (26)$$

Ezesetben célszerűbb másképp megválasztani a koordináta-rendszert, mégpedig úgy, hogy az a  $\underline{B}_1(t)$  tér forgását kövesse, azaz  $\Omega = \omega$ . A fázissal nem foglalkozunk,  $\underline{B}_1$  mindig a forgó koordináta-rendszer  $x'$ -tengelye felé mutasson. Ekkor a forgó rendszerben a mágneses tér :

$$\underline{B}'_{eff} = \begin{pmatrix} B_1 \\ 0 \\ B_0 + \omega/\gamma \end{pmatrix} \quad (27)$$

Így forgó koordináta-rendszerben a mágneses momentum a  $\underline{B}'_{eff}$  tér körül precesszál. Laboratóriumi rendszerben azt látjuk, hogy az eredő tér a  $B_0$  tér körül forog, és az önmagában forgó tér körül végez precessziót a mágneses momentum. Pusztán geometriai elgondolással belátható, hogy a  $\underline{B}_{eff}$  térnek a  $z$ -tengellyel bezárt szöge ( $\Theta$ ) konstans, illetve a kezdetben  $\underline{B}_0$  irányába mutató mágneses momentum  $z$ -tengellyel bezárt szöge  $0$  és  $2\Theta$  között változik. Kezdetben  $z$ -irányba mutat a mágneses momentum, a  $\underline{B}'_{eff}$  körüli körmozgás során a legszélső eset az lesz, amikor a momentum vektora átkerül a  $\underline{B}'_{eff}$  "másik oldalára", azaz a szimmetria miatt  $2\Theta$  szöget zár be a  $z$ -tengellyel. A  $\underline{B}'_{eff}$  komponensei alapján meghatározható a  $\Theta$  szög nagysága is.

$$\tan(\Theta) = \frac{B_1}{B_0 + \omega/\gamma} \quad (28)$$

Definíció szerint  $B_1 \gg B_0$ , ezért ez a tört minden esetben kicsi lesz, kivéve amikor a harmonikusan változó tér frekvenciája éppen<sup>1</sup>  $\omega_L = -\gamma B_0$ , mely Larmor-frekvenciaként ismert. Rezonanciát kereshetünk úgy is, hogy a  $B_0$ -t állandóan tartva a  $B_1(t)$  tér frekvenciáját változtatjuk, valamint úgy is, hogy a perturbáló tér frekvenciáját tartjuk állandó értéken, és a  $B_0$  teret változtatjuk.

## 2.4. Abszorpció és Kiszélesedés

Mágneses tér bekapcsolásakor egy feles spinű részecskének két állapota lehetséges :

$$E_{\uparrow\downarrow} = \mp \frac{1}{2} \mu_0 B_0 \quad (29)$$

A felfelé, illetve a lefelé orientálódó spinek betöltöttsége Boltzmann-eloszlást követ adott  $T$  hőmérsékleten.

$$N_{\uparrow\downarrow} = e^{\pm \frac{g\mu_0 B_0}{2k_B T}} \quad (30)$$

A spinek száma külön-külön változik időben, ám az összegük állandó.

$$N_0 = N_{\uparrow}(t) + N_{\downarrow}(t) = \text{const.} \quad (31)$$

A  $B_1 \sim \sin(\omega_L t)$  tér bekapcsolása felborítja a fenti termikus egyensúlyt, mivel a tér azonos valószínűséggel engedi meg az átmenetet mindkét irányban. Mivel lecsökkent az alacsonyabb energiájú állapotok valószínűsége (illetve megnőtt a magasabb energiájú állapotok valószínűsége), miközben a rendszer "igyekszik" visszatérni a termikus egyensúlyhoz, a spinek disszipálják az elnyelt energia egy részét a környezetükbe. Ennélfogva a tér kikapcsolása után a spin-eloszlás visszatér eredeti állapotába. Az ehhez szükséges időt nevezzük spin-rács relaxációs időnek ( $T_1$ ). Amennyiben a spinek gyorsan disszipálják az energiát a  $B_1(t)$  gerjesztéshez képest, a rendszer stabil, és a gerjesztés alatt sem lesz távol a termikus eloszlástól. Túl gyenge csatolás vagy túl erős gerjesztés hatására telítés történik, így lecsökken az abszorpció. Magok esetén másodperc nagyságrendű is lehet a relaxációs idő, ezért előnyös kisebb gerjesztést használni.

<sup>1</sup>A kiszélesedés jelenségéről a következő fejezetben lesz szó.

A gyakorlatban nem egy Dirac-elta írja le a  $\Theta(\omega)$  összefüggést, hanem egy véges szélességű csúcs, melynek közepe a Larmor-frekvencia. Ennek oka a homogén és az inhomogén kiszélesedésben keresendő.

Egy  $\delta t$  élettartamú gerjesztett állapotnak  $\delta\omega \approx \delta E/\hbar$  energiabizonytalansága van a Heisenberg-féle határozatlansági relációból adódóan, ezért ezen a tartományon is megfigyelhető jelentős abszorpció. Ezt hívjuk homogén kiszélesedésnek. Ez szoros kapcsolatban áll a relaxációs idővel, ugyanis  $\delta t \approx T_1$ . Az inhomogén kiszélesedés oka, hogy a spinek sosem egzaktul sztatikus és homogén teret érzékelnek. Bármely névleg homogén térnek is vannak inhomogenitásai, ám minden spin kölcsönhat magával a mintával is. Egy  $\delta B_{lok}$  lokális fluktuáció esetén  $\delta\omega = \gamma\delta B_{lok}$  kiszélesedés lép fel.

### 3. A kísérleti elrendezés

A mérés során két különálló tekercset használunk a sztatikus  $B_0$  és a harmonikusan változó  $B_1(t)$  tér előállítására. Azt a mérési módszert valósítja meg a berendezés, mely során a  $B_0$  teret változtatjuk, erre szolgál egy harmadik, moduláló tekercs, melyet a moduláló jelgenerátor hajt meg. A  $B_0$  teret 25Hz frekvenciával, a nagyságának néhány százalékával változtatjuk. A perturbáló tér frekvenciája kézzel változtatható, de konstans.

A rezonancia esetén fellépő abszorpciót ugyanaz a tekercs méri, mely a rádiófrekvenciás gerjesztést végzi. A tekercsen végigszaladó jelek eljutnak az oszcillátorba, ahol abszorpció esetén amplitúdó-csökkenést látunk. Az oszcillátor vízszintes tengelyén látjuk a homogén mágneses tér modulációját, a függőleges tengelyen pedig az abszorpciót - rezonancia esetén csúcsot.

Hall-szondát használunk a mágneses té méréséhez. Egy rádiófrekvenciás antennát használunk a frekvencia mérésére, ugyanis két szinuszos jel összege lebegést mutat. Az oszcilloszkóp használható integrált módban is, ekkor 256 ciklust átlagol, ezzel a háttérzaj nagy részét kiszűrve.

Fontos megemlíteni, hogy a tekercsek esetén az áramot tartjuk kontroll alatt, ugyanis ez szabja meg a keletkező mágneses tér nagyságát. A tekercsnek van ellenállása, ennél fogva használat során melegszik, mely megváltoztatja az ellenállását is. Feszültségforrás esetén nem, vagy csak nehezen lehetne kiküszöbölni a melegedésből fakadó ellenállás-változást.

A mintatartót, mely kézzel szabályozható, úgy állítjuk be, hogy a tekercsek tengelyére essen rá.

### 4. Mérési feladatok

#### 4.1. A proton g-faktora

A protonminta (vizes oldat) rezonanciáját 9 pontban mértük meg, melyekből fejenként 4-et sorsoltunk ki véletlenszerűen mérőtársaimmal. Ezeket az alábbi táblázat foglalja össze.

$I_{hall}[A]$	$I_{knob}$	$B_{hall}[mT]$	$\nu_L[MHz]$
1.186	384	103.1	4.547
1.715	557	139.1	6.094
2.243	728	177.4	7.768
2.415	785	189.5	8.309

1. táblázat. A  $^{60}Co$  izotóp esetén mért csúcspárokra illesztett görbe paraméterei

A frekvencia és a mágneses tér közti a (20) összefüggést követi, illetve a g-faktor a (6) kifejezés segítségével számolható ki a giromágneses arányból.

$$\omega_L = \frac{\nu_L}{2\pi} = \frac{g}{2\pi} \cdot \frac{q_p}{2m_p} \cdot B_0 \quad (32)$$

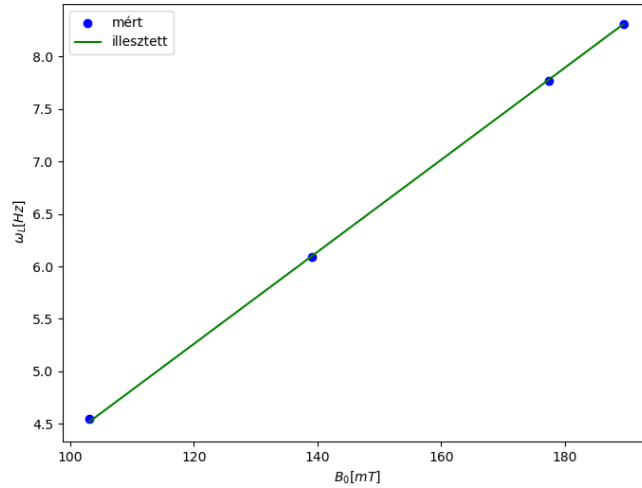
$$m_p = 1.67262192 \cdot 10^{-27} kg \quad q_p = 1.6022 \cdot 10^{-19} C \quad (33)$$

Ezek ismeretében az  $\omega_L(B_0)$  adatsorra egyenes illeszthető, melynek eredménye az alábbi ábrán látható.

Az illesztett paraméter :

$$g = 5.752 \pm 0.007 \quad (34)$$

A névleges érték  $g_p = 5.5856$ , mely nem esik bele (ebbe) a hibatartományba, ám az eltérés csupán  $\approx 3\%$ .



1. ábra. A proton rezonanciájának térfüggésére illesztett egyenes

## 4.2. A fluor és a proton rezonanciájának összehasonlítása

A méréshez egy teflon és egy víz mintát használunk. A mérés menete a következő.

- Megkeressük a víz rezonancia frekvenciáját az áram változtatásával.
- A vízmintát kicseréljük a teflon mintára, majd ismét növeljük a mágneses teret, amíg rezonanciát nem tapasztalunk, melynek frekvenciáját megmérjük.
- Helyezzük újra a vízmintát a mintatartóba, majd a mágneses tér változtatása nélkül megkeressük a rezonancia frekvenciáját.

Ezt ismétljük 4 mérési pontban. Amennyiben a tér nem változott sem időben, sem térben, az alábbi összefüggés lesz igaz minden mérési pontra.

$$\frac{\nu_F}{\nu_p} = \frac{\omega_F}{\omega_p} = \frac{\frac{1}{\hbar} g_F \mu_N B_0}{\frac{1}{\hbar} g_p \mu_N B_0} = \frac{g_F}{g_p} \quad (35)$$

A mérés eredményét az alábbi táblázat foglalja össze.

$\nu_F [MHz]$	5.724	6.547	7.246	7.795
$\nu_p [MHz]$	6.084	6.950	7.700	5.095
$g_F/g_p$	0.941	0.9420	0.9410	1.5300

2. táblázat. A fluor és a proton rezonanciájának összehasonlítása, g-faktoruk aránya

Az utolsó mérési pont minden bizonnyal hibás, ezért nem vettem figyelembe. Ennek a mérési módszernek az előnye, hogy az eredményben jó közelítéssel kiküszöbölhető a mágneses tér reprodukciós hibája és az esetleges indukcióvonal-torzulások is megegyeznek a frekvencia-párok esetén, illetve a hőtágulásból származó szisztematikus hiba is.

Így a fluor g-faktora, mely névleg 5 – 10%-kal kisebb, mint a protoné, beleesik ebbe a hibatartományba.

$$g_F = 5.4146 \pm 0.0007 \quad (36)$$

## 4.3. Hibaforrások

Hall-szonda segítségével mértünk reprodukálhatóságot is egy adott, állandó  $I = 1.282A$  mellett.

$B_{hall} [mT]$	116.4	115.2	114.6	116.4	116.1
-----------------	-------	-------	-------	-------	-------

3. táblázat. Reprodukálhatóság Hall-szondával



Így kiszámolható az adatsor szórása, mely a mágneses tér hibáját adja meg.

$$\Delta B = 0.5mT \quad (37)$$

Ez alulbecslésnek bizonyul a névleges  $1 - 2\%$ -hoz képest, ezért az utóbbit használjuk.

Az oszcilloszkópon a csúcsok leolvasását  $1ms$  pontosan tehetjük meg, ám 5 perc alatt  $2.5ms$  eltérést észleltünk, mely  $5.687MHz - 5.671MHz = 16kHz$  elcsúszást jelent. Így a frekvencia hibája megadható, mint :

$$\Delta\nu = \frac{16kHz}{2.5} = 6.4kHz \quad (38)$$

Ez lényegesen nagyobb, mint az antenna  $1kHz$  pontossága, ezért erre a hibára hagyatkozunk.

A mérés során melegező tekercsek ellenállás áramforrással van kiküszöbölve, ám a hőtágulás következtében megváltozik a tekercsek térfogata. Továbbá megemlítendő, hogy Föld-mágneses tere nem befolyásolja a mérést, ugyanis ez a  $\mu T$  tartományban van, mely lényegesen kisebb a mért mennyiségeknél és a hibájuknál.

Így a g-faktor hibája :

$$\left(\frac{\Delta g_p}{g_p}\right)^2 = \left(\frac{\Delta\omega_L}{\omega_L}\right)^2 + \left(\frac{\Delta B_0}{B_0}\right)^2 \quad (39)$$

$$g_F = 5.415 \pm 0.115 \quad (40)$$

Illetve hasonlóan a  $g_F/g_p$  arány hibája :

$$\Delta \frac{g_F}{g_p} = 0.941 \pm 0.002 \quad (41)$$